

秋田市における年別・日別積雪深の変化と最深積雪に関する考察

秋田工専 (学) ○ 佐々木 昭
〃 (正) 伊藤 駿

1 はじめに

冬の気候を二分し産業活動の停滞や後進性をもたらすのが雪であるという考え方には日本海側北部で根強く、都市機能の維持や交通機関の確保といった点から見ても看過できないことがある。「三八豪雪」以来雪害対策も進んでいるが、都市化現象に伴う新たな雪害も生じている。そこで都心部における積雪特性を整理するため秋田市を選定し、過去90年以上にわたる積雪データの分析を行なった。その結果積雪深の変化には特徴的タイプがあり、およそ5分類されること、最深積雪(Annual Maximum)と他の気象因子の間に相関関係があるなどの事柄が見いただされた。以下に調査結果の概要を報告する。

2 積雪パターンの分類

積雪の日変化をして毎年の変動傾向をみるとこれらはいくつかの特徴的タイプに分類できる。図-1はこれらを概ね5分類した模式図である。これらは降雪量や気温、日照時間、気圧の通過経路等に支配されると考えられるが、図-1のタイプ以外にも合成型が存在する。これらは次のようないくつかの特徴がある。

(A) タイプ (A) 高原型を示す。典型的な降雪が少なく豪雪年にはみられない。低温が持続的で、そのため積雪期間も長い。

(B) タイプ (B) 除々に積雪が増加し2月頃にピクが出され、積雪が漸増するため雪害に対する備えができるので夕雪にならずも雪害は発生しない。秋田市において最も多く出現しているタイプである。

(C) タイプ (C) ドラゴン型である。クリスマス寒波の頃から低温が持続し、降雪強度が高いため被雪が多く現れる。寒波のリバーカー初期に現れるが、秋田市では冬に程大雪にはならない年はなく、類似例も少ない。

(D) タイプ (D) 富士山型を示す。豪雪年に現れやすい。連続的に降雪量が増加し、積雪期間も長い。タイプ(B)に次いで、積雪が大きく1963年の豪雪時に現れた。このタイプは被雪の範囲が大きい。北陸豪雪地帯でよく現われる。

(E) タイプ (E) 散乱型といわゆる暖冬に出現する。周期的及び散発的な降雪はあるが気温が高いため積雪期間は持続しない。近年比較的多くみられているタイプである。

3 最深積雪と他の要因との関係

秋田市における豪雪は多雪年で、2月5日前後に現われる。暖冬年では典型的な降雪に支配されるため12月から3月に現われるところがある。図-1で示したタイプ(D)は安定した寒波が襲来して形成されたもので全国的にみて三八豪雪に現われた。近年は1974年の豪雪時に見られる。1974年のような年は、積雪は多く、積雪の累積頻度を調べてみると図-2に示すように緩やかに分配を示す。これに対し、暖冬年は急な勾配で時間当たりの累積頻度が極めて大きい。これは積雪の被雪の度合いを示す一つの傾向を示すもので、(E)タイプほど左側に偏っている。

次に最深積雪(S_{max})は寒季期の短時間的降雪現象の累積によって生じたひと冬のピク値である。この値は図-1に示す積雪変化のように、必ずしも各年の積雪量を満足に表わしている訳ではない。これに代る量として総積雪量がある。これらの関係は図-3に示され、次式のように指數関数の関係にある。

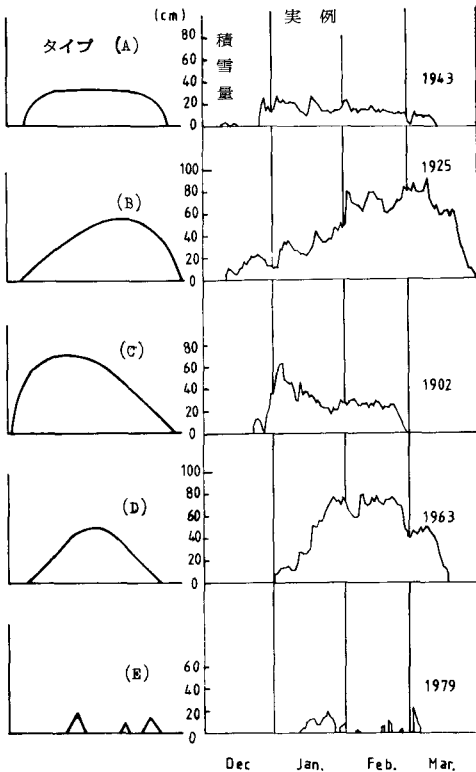


図-1 積雪パターンの分類と実例

これが知られる。

$$St = 3.816(S_{max})^{1.532}$$

これは気象現象の物理的意味を裏付けるものである。特に $St = 5000(\text{cm-day})$ は豪雪对策法の基準になっているが、図示のように秋田市では過去2回しかない。この St と S_{max} の比 (St/S_{max}) をみて、(E) タイプによく調べてみると図-4 のようである。これを見ると(E) タイプ(E) はめがけてよくわかる。

(A), (D) はめがけて大きいことがわかる。

このような S_{max} を構成する幾つかの気象要因を選んで S_{max} の予測式を重回帰式で表示する試みを行なった。それが次式である。また目的変数 S_{max} を階級値に変えて表-1 の値を使用した。

$$S_{max} = 14834 + 0.0094X_1 - 0.0031X_2 - 0.0137X_3 \\ + 0.8836X_4 - 0.0107X_5 - 0.0552X_6$$

説明変数 $X_1 \sim X_6$ は次の通りであり、これらの関係は図-6 のようになつた。 $X_1 = \text{根雪期間}(D_s)$, $X_2 = 1.2\text{月の平均気温}(T_{ave})$, $X_3 = 1.2\text{月の平均降雪率}(C)$, $X_4 = \text{総降雪量}(St)$, $X_5 = 1.2\text{月の真冬日出現回数}(D_i)$, $X_6 = 1.2\text{月の日照時間}(S_p)$ 、これら5つの S_{max} に対する寄与率は 78.7% であった。なおここで各種気象因子も無次元階級値に変えて用いている。その階級値と各要因の内部相関は表-2 のようである。

表-1 S_{max} の階級値

$S_{max}(\text{cm})$	1~15	16~30	31~45	46~60	61~75	76~90	91~105	106~120
階級値	1	2	3	4	5	6	7	8

表-2 各種要因の内部相関行列

	$D_s(X_1)$	$T_{ave}(X_2)$	$C(X_3)$	$St(X_4)$	$D_i(X_5)$	$S_p(X_6)$	S_{max}
D_s	1.000						
T_{ave}	0.706	1.000					
C	0.565	0.572	1.000				
St	0.832	0.664	0.521	1.000			
D_i	0.406	0.789	0.472	0.408	1.000		
S_p	0.549	0.593	0.377	0.498	0.406	1.000	
S_{max}	0.732	0.550	0.448	0.886	0.338	0.406	1.000

St と S_{max} は既に図-3 に示したように非常に密接性がありとも相関が良いが、階級値にするときより良好な関係に改善されることがわかる。 D_i や C と S_{max} をみると寒い冬や降雪率は必ずしも大雪につながっていないことも注目される。

4. おわりに

秋田市における91年間の積雪データによる特徴を整理した。豪雪年はタイプ(B), (D) が多いが、タイプ(A) がかなり多く出現在していることは、海岸平野部の特徴と思われる。 S_{max} と St の関係が指数関数型であるシビも見いただされたが、この関係は各地に共通して存在するようである。また各積雪パターンの出現傾向については他の地図についても検討している。

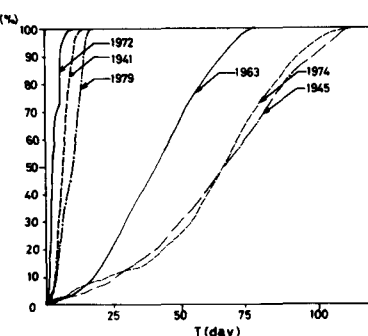


図-2 多雪年・寡雪年の累積頻度

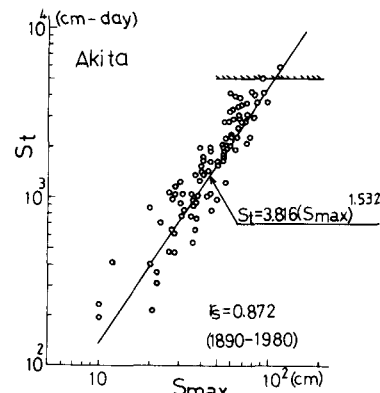


図-3 St と S_{max} の関係

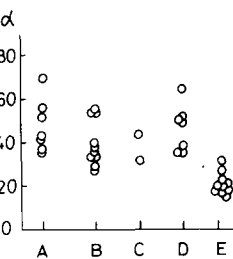


図-4 タイプによる d の変化

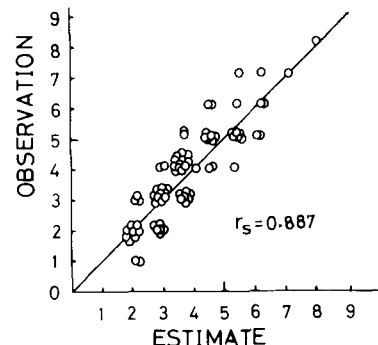


図-5 S_{max} の実測値と計算値の比較